

流星余迹通信

中国科学院
电子学研究所



73.45
335
13

流 星 跡 通 信

苏联 M. H. 阿隆耐著

王 誠 駛 譯

朱 邦 俊 校



104257

М. Н. АРОНЭ
МЕТЕОРНАЯ РАДИОСВЯЗЬ
ВОЕННОЕ ИЗДАТЕЛЬСТВО
МИНИСТЕРСТВА ОБОРОНЫ СОЮЗА ССР
МОСКВА—1960

内 容 提 要

本书介绍了流星現象、流星余跡通信的基本知識、流星余跡通信设备的一般工作原理，最后并对流星余跡通信的优缺点以及发展前途加以簡短的討論。

流星余跡通信

著者：苏联 M. H. 阿隆耐
译者：王 骞
校者：朱 俊
出版者：人民邮电出版社
北京东四 6 条 13 号
(北京市书刊出版业营业许可证出字第〇四八号)
印刷者：北京市印刷一厂
发行者：新华书店

开本 787×1092 1/32 1964 年 2 月北京第一版
印张 2.90/32 页数 47 1964 年 2 月北京第一次印刷
印刷字数 65,000 字 印数 1—3,050 册

统一书号：15045·1374—无377

定价：(科六) 0.38 元

譯者的话

流星余迹无线电通信是一种比较新颖的通信方式，具有一系列独特的优点，很有发展的前途。许多国家都在积极进行研究试验。不过目前这种通信方式尚未脱离试验阶段，系统论述介绍的书籍尚不多见。这本小册子是作者根据国外期刊上发表的有关文献写成的。由于原书是供军事通信人员阅读参考的，故书中所提的具体材料多是国外军事通信电路的试验记录资料。这些材料对于我国从事无线电通信工作的人员有一些参考价值，对于无线电爱好者也可作为了解无线电技术发展的读物阅读。



104257

然而，只是最近几年来由于无线电技术及广泛采用雷达观测流星的流星射电天文学的巨大成就，实际运用这种流星反射信号的现象才成为可能。

借助于雷达设备，天文工作者第一次能够昼夜不断地观察流星现象：系统地测量流星的高度，它们进入大气中的速度、运动的方向以及它们的数量的每小时、每昼夜变化。

还在 1944 到 1947 年，苏联、美国及英国就开始系统地用雷达观测。结果发现，在白天有流星流，并获得流星数量随时间变化的珍贵资料。

由于采用无线电方法而在流星天文学中获得的成就，反过来又推动了新的无线电技术和设备的发展。

当流星余迹或任何其他物体被雷达照射时，雷达接收机所收到的，仅仅是被流星余迹“往回”反射的那部分电波能量，即与辐射方向相反的、朝雷达反射的那部分能量。往其他方向，特别是“前向”反射的能量则未被利用。这样便自然地促使我们想到，是否可利用这前向反射的能量来正常地传送消息。

到四十年代末为止，流星天文学中积累的数据，以及由于流星余迹反射作用而能不止一次地远程接收超短波的现象，使我们有理由相信，具有诱惑性的“流星”无线电通信一定能实现，且这种通信方式将有一系列的宝贵特性。

首先我们假定，在以雷达观测流星的过程中已被掌握的超短波米波波段内，由于利用了流星反射现象，一定会使通信距离大大增加。这种假定已为加拿大及美国在 1950 至 1956 年间进行的研究证实了。用特制设备实现了打字电报、传真电报及电话的“流星式”通信。试验性流星余迹无线电电路的运用表明，在米波波段内，利用功率为几千瓦的发射机及普通的八木天线，通信距离就可达到 1500 公里。

众所周知，借助于对流层或电离层的超短波散射作用的系統要达到这样大的距离，发射机的功率需为几十千瓦，天綫必須非常庞大。

流星余跡通信的一个很重要的特性，就是通信的稳定性，它不大受电离层骚扰的影响。

研究信号的流星传播表明，电波的反射具有非常明显的方向性，这样便增强了传送的保密性，不易被窃听，并且容易防止干扰台的影响。

流星余跡无线电通信的优点使我們认为这种通信是超短波米波波段內頗有前途的远程通信方式。不仅是民用通信，軍事通信对它也很感兴趣。所以許多国家的軍事部門中对流星通信系統进行着很多的研究与試驗。正在研制和試驗固定式与移动式（“大地——飞机”式）的流星通信系統^[10]。

在这本小册子中，試圖闡明利用流星电离大气来进行无线电通信的一些問題。

第一章介紹流星的基本知識。如果讀者要进一步研究，可参閱 B. B. 費定斯基和 И. С. 阿斯托波維奇所著的书^{[21], [31]}。

在第二和第三章里，研討无线电波的流星传播的主要特征及反射信号的性质。第四章至第六章則探討流星通信系統的工作原理及国外試驗性流星余跡无线电路上使用的打字电报、電話、传真电报設備。讀者对流星通信电路的通信能力如感兴趣，则在第七章中可找到这方面的資料。在最后一章里，指出流星通信系統的优缺点，并指出用这种系統作为超短波米波波段內远程通信的一种新方式的可能性。

作者謹向閱讀手稿时提出許多宝贵意見的所有同志們表示謝意。

目 录

序言

第一章 流星	1
基本概念	1
流星微粒的数目和质量	2
流星流	6
第二章 无线电波的流星传播特征	11
电离余迹的形成及其特性	11
无线电波在流星余迹上的反射	15
反射区域在空间中的分布	20
第三章 反射信号的特点	22
反射信号的种类	24
反射信号的功率	26
反射信号的持续时间	29
反射信号数目的昼夜和季节变化	34
第四章 流星余迹通信系统的工作原理	36
基本工作原理	36
单向受控式传送	38
双向受控式传送	40
非受控式传送	41
国外试验性的流星余迹无线电通信电路	43
第五章 印字电报流星余迹通信系统	44
单向受控式传送系统	44
双向受控式传送系统	46
存储设备	53
流星余迹无线电电路的一些试验结果	58

第六章 在流星余跡無線電路上的電話和傳真電報通信	61
電話通信	61
傳真電報通信	64
第七章 流星余跡通信電路的容量	67
基本關係	67
通信容量與無線電路基本特性的關係	71
第八章 流星余跡通信系統應用的可能性	74
流星余跡通信系統的優點（與電離層通信系統相比較）	74
流星余跡通信系統的缺點	80
流星余跡無線電通信進一步改善的可能性	81
結束語	82
參考文獻	84

第一章 流 星

基 本 概 念

大量小而硬的微粒——宇宙物质碎片从宇宙空间不断地闯入以约 30 公里/秒的速度环绕太阳运动的地球的大气中。这些微粒或流星体的绝大多数，和行星一样，环绕太阳运动。

流星体和地球的相对运动速度是 12 到 72 公里/秒。流星体以这样的高速衝进大气时，由于和空气摩擦而灼热，熔化，并且在大多数情况下气化。这时，在海拔 120—80 公里处产生光带，好象“星星掉下来了”（图 1）。大气中的这个现象称做流星，它在希腊文中的含意是“在空气中气化”。

晴朗无月的夜晚，用肉眼每小时可观察到 2 到 20 个流星，并且它们的亮度通常相当于 1—4 等星^①。较暗的流星可用望远镜来观察（这种流星称为望远镜流星），更暗的流星（约为 12 等星）则只能用特种雷达根据大气中被电离的流星余迹来跟踪。

非常亮的流星称为陨星。它的亮度超过金星，有时甚至超过满月时的月亮。陨星是由重量为数公斤的巨大流星体产生的。这样的物体在大气中还没有来得及完全粉碎，就成为石块或铁片——陨石落到地球上。

陨星是很罕见的天体现象；例如，苏联的天文学家 I. C. 阿斯托波维奇在他所观察的 37000 个流星体中一共才发现 87 个陨星。由于陨星出现得这样少，我们对陨星用作流星通信便不

① 最亮的恒星和流星属于一等星，最暗的但能为肉眼看的为六等星。例如，北极星的亮度相当于二等星。比一等星还亮的星体按照增强的亮度用负数 0、-1、-2、-3 等来表示。

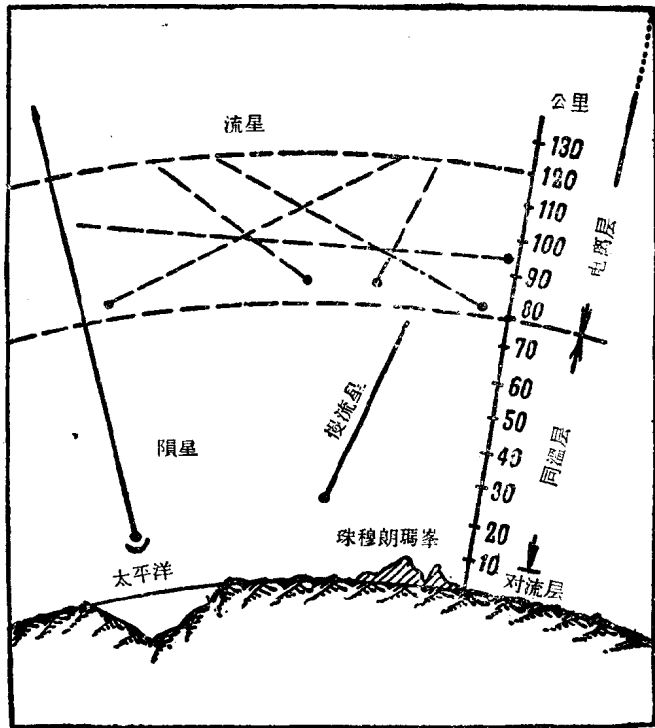


图 1 在地球大气中的流星和陨星

感兴趣。

流星微粒的数目和质量

观察表明，进入大气中的小微粒比大微粒多。这样，灵敏的雷达设备所能发现的微弱流星每秒就出现一次，甚至在更短的时间内就出现一次，可是，肉眼看到的流星则平均每小时约只重复出现八次。

可以极粗略地认为，单位时间内闯入大气中的微粒数目与

它們的质量成反比：

$$n = \frac{k}{m}, \quad (1)$$

式中 m ——微粒质量；

n ——质量大于 m 的微粒数目；

k ——由昼夜、季节、所在地的緯度和其他因素决定的常数。

公式(1)的关系可用表1來說明，它表示在一昼夜中进入地球大气的流星微粒数目如何随其质量而分布的关系。

流星微粒的数目随其质量而分布的关系^[5]

表 1

流星的亮度 (几等星)	微粒质量 m	每昼夜微粒数目 n	备注
-10 → -3	500—100 克	300	
-9 → -6	100—10 克	2500	
-5 → -4	10—1 克	1.8×10^4	
-3 → -1	1—100 毫克	4×10^5	
0 → 1	100—10 毫克	10^6	
2 → 1	10—1 毫克	3.6×10^7	
5 → 6	1—0.1 毫克	1.9×10^8	
7 → 9	0.1—0.01 毫克	3.3×10^9	
10 → 12	0.01—0.001 毫克	6.5×10^{10}	

从表中可作出如下結論。

当被観測的微粒质量降低为 $\frac{1}{10}$ 时，其数目約增至十倍。

最小的、但还能用雷达方法根据大气中的电离余跡发现的流星微粒的质量（表中最后一行）約為 0.01—0.001 毫克。光是一昼夜內闖入大气中的这些微粒的总数就以數百亿計。按計

算数据，这样的微粒的尺寸約为 0.1—0.05 毫米^①。

流星数目随昼夜、季节的变化关系乃是一个影响流星通信經常性的重要特征。事实上，假如在某一电路上，一昼夜的第一小时内，譬如說，觀察到 100 个流星，而在其余廿三小时内一个也觀察不到，那么很明显，在这样的电路上就不可能进行經常的通信。

流星数目是怎样随时间变化的呢？这变化是由什么因素决定的呢？

某地在短時間間隔里产生的流星数目，每分钟和每天都作随机变化。但是，繼續不断的觀察使我們断定，在長時間間隔中，流星的平均数目随昼夜、季节、当地的緯度等变化的关系具有足够的規律性。这样就确定了，在早上（約早晨 4—6 点钟）流星的数目，就較当地时间大約下午 6 点钟时的大好几倍。在图 2 中示出了一昼夜內流星数目变化的曲綫。这关系称做流星数目的昼夜变化。沿纵軸示出所謂每小时数——在 1 小时內觀

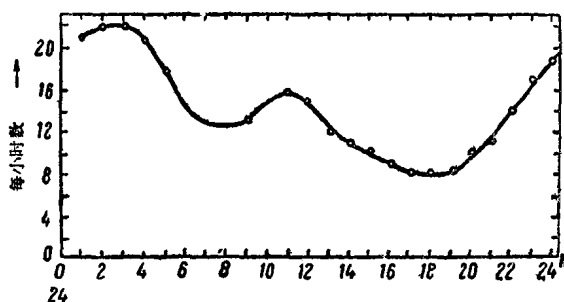


图 2 觀察到的流星数目随昼夜的变化

① 有間接的数据表明，还有更小的微粒存在——甚至雷达站也不能发现的所謂宇宙尘。由于这种流星尘与地球的相对速度很小，它們进入大气中不发光，不留下电离了的流星余迹。

察到的流星数目。曲綫是按照多次觀察結果得出的每小时数而繪制的。

在一年內的每小时数变化称为流星数目的年变化。它的例子示于图 3。由图可見，在秋天流星比春天要多得多。

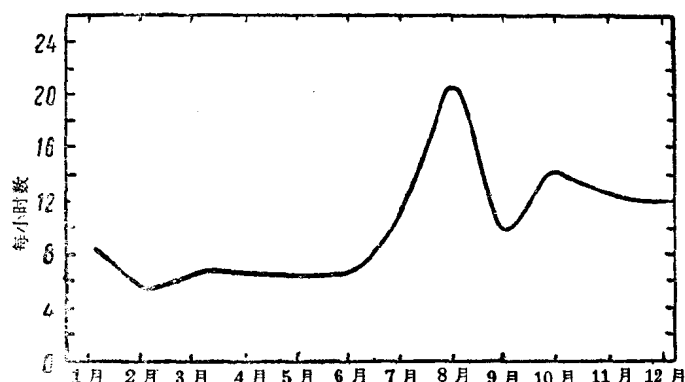


图 3 观察到的流星数目的年变化

流星数目的昼夜及年变化受所在地緯度的影响：发现昼夜变化在赤道最大，在两极則最小；而两极的年变化却大于赤道的年变化。

流星数目的昼夜变化决定于地球的自轉，地球繞太阳的运动以及地球軸的傾斜。

假如地球真的不动，而流星微粒从各个方向均匀地进入大气，那么在地球上任何点觀察到的流星数量将是常数。但是，由于地球在运动，所以在朝向奔赴点（地球朝着它运动的一个空間点）的一面看到的流星数目总是比較大，而在另一面則較小(图 4)。

早晨，奔赴点在地平线上升起来，由于迎面的和被地球追上的流星数目在增长，因而看到的流星数目也就增加了。晚上，当奔赴点在地平线下，觀察到的流星数目就相应地减少。因此，流星数目的昼夜变化是由于一昼夜間奔赴点在地平线上高度的变化而引起的。

觀察到的流星數量的年變化是因為在空間中沿着地球的軌道分布的流星微粒數目不均勻。

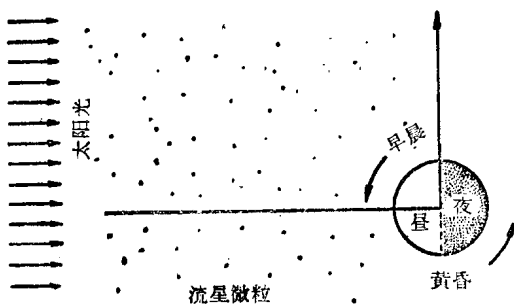


图 4 流星微粒数目昼夜变化的說明

上述的流星微粒按质量的分布及其数目的昼夜和年变化，对于从不同方向以相差悬殊的速度闖入大气中的微粒來說，都是正确的。

等。

周期地觀察到流星流的原因是地球穿過其軌道與地球軌道相交的大量群聚的微小流星體(圖 5)。大多數流星流中，流星體沿着流動的軌道分布得足夠均勻，形成一個橢圓環(圖 6, a)。所以這種流星流每年在地球與它們的軌道相交的時期內出現。這樣的流星流的例子為英仙座流星流，地球與它相交時，穿過長度約一萬萬公里的流星體。在另一種類型的流星流中(圖 6, b)，流星體在很短的一段軌道中密集在一起(例如獅子座流星

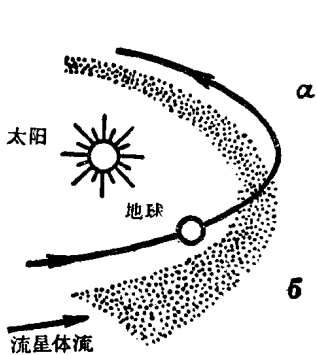


图 5 地球穿过流星流

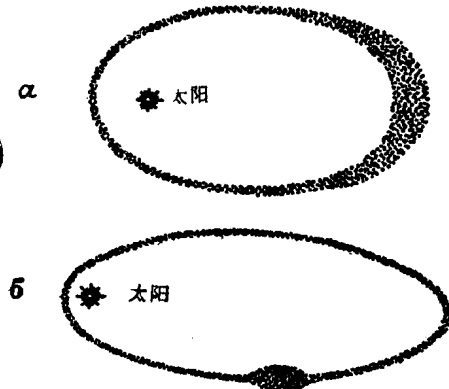


图 6 流星体按流星流轨道的分布
a—均匀分布；b—流星体密集在一段轨道上

流)。所以這種流星流的最大值很少碰到——僅在地球經過流星流微粒密集地段的時期才碰到。因此，在十九世紀中強烈的獅子座流星流(一小時有數千個流星)出現一次要 33 年(在 1833 年及 1866 年)，等於這個流星流環繞太陽運行的週期^①。在通常年代，觀察到的獅子座流星流的流星數目非常小——每小時約 12 個流星。

^① 在 1866 年以後，地球僅與獅子座流星流的邊緣相交，所以每小時的流星數目大大降低。

夜間与白晝的主要流星流 (按照密爾曼的結果) 表 2

次 序 号	流星流	最大值 的日期	辐射点 的座标		每小时 流星 数 目	正常延 續 期 天	觀察到 的地心 速度, 公里/秒	有关的 彗 星	附注
			α°	δ°					
1	象限仪座流星流	1月3日	231	+50	35	1	41		
2	阿烏利格座流星流	2月9日	75	+42	12	(5)			
3	天琴座流星流	4月21日	273	+34	12	2	48		
4	宝瓶 η 座流星流	5月4日	336	0	12	10	(66)	格列亚	
5	鯨魚O座流星流	5月20日	30	-3	15	10	37		白晝流 星流
6	英仙 ξ 座流星流	6月8日	62	+24	30	15	29		同上
7	天王卫一座流星流	6月8日	44	+23	45	20	38		同上
8	天蝎座—箭环 星座流星流	6月14日	260	-26	12	80			
9	天龙座流星流	6月28日	220	+58	12(1916 年为40)	(5)		旁斯文乃 克	
10	金牛 β 座流星流	6月29日	86	+18	35	10	31		同上
11	宝瓶 δ 座流星流	7月30日	340	-15	20	15	41		
12	英仙座流星流	8月11日	46	+57	50	20	61	1862 III	
13	查柯宾尼座流星 流	10月9日	262	+54	1933年 20000 1946年 1000	1	23	查柯宾尼 —采葛 拉格列亚	
14	獵戶座流星流	10月20日	95	+115	20	10	66		
15	金牛座流星流	10月31日	54	+17	12	30	30	恩凯	
16	北天王卫一座流 星流	11月12日	50	+22	15	(5)			
17	仙女座流星流	11月14日	24	+44	在1872, 1885年 5000到 10000	5	72	比艾拉 I (仙女 I)	
18	獅子座流星流	11月16日	152	+22	20 (1833 年为 10000)	5	72	1866 I	
19	双子座流星流	12月13日	113	+32	40	5	35		
20	小熊座流星流	12月22日	207	+80	15	(1)			

在表 2 中列出用肉眼在夜里观察到的^[2]，以及近年来用雷达法在白昼发现的、最活动的流星流的数据。

在表 2 中流星流辐射点的位置由它的天文座标，赤经 α° 及赤纬 δ° 来确定。

这些概念的解释如下。

在地球上的一点的位置由地球的经度与纬度决定，与此类似，星辰及其他物体在天球上的位置则由天文经度与纬度决定。在天球上的子午线，或经线，是通过宇宙的两极 P_1, P_2 (图 7)——它们是地球上的观察者觉得静止的两点——的大圆的一半(例如 P_1ABP_2)。平面垂直于 P_1P_2 轴的大圆 $QER\gamma$ 称做天体赤道。

零天体子午线 $P_1\gamma P_2$ (赤经是由它开始朝东算的)通过春分点 γ 。因而，星辰 A 的天体赤经用角度 $\alpha = BC\hat{\gamma}$ 来表示。星辰 A 的天体赤纬 δ 由该星与天体赤道间的角距来决定： $\delta = +ACB$ 。对北半球的星辰来说，赤纬 δ 为正；对南半球的星辰来说则为负。这样，宇宙的北极与南极的赤纬就分别等于 $+90^\circ$ 与 -90° 。

值得注意的是，在许多流星流与彗星间存在着明显的关系。

彗星是太阳系中看起来象雾似的一团斑点而内部带有明亮的核心的物体。当接近太阳时，彗星的亮度通常是增加的，从它的核心拖出由气体及很小的微粒组成的尾巴。

彗星的尾巴长达几亿公里。随着彗星离开太阳，它的头部亮度降低，尾巴缩短，而彗星则重新变为微小的、雾似的一团斑点，消失在黑夜的天空中。彗星里物质的密度非常小——一立方厘

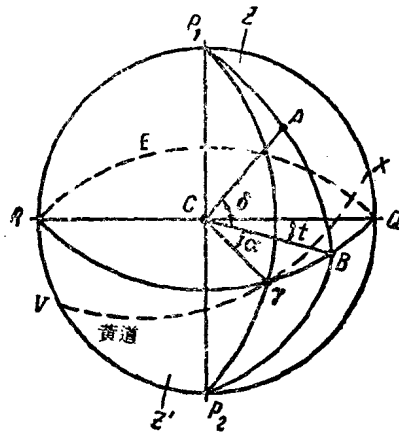


图 7 星辰 A 的天文座标
 $\alpha = BC\hat{\gamma}$ ——赤经，或天体赤经
 $\delta = +ACB$ ——赤纬，或天体赤纬